TROY TECHNICAL

AI・機械学習
ウィークリーレポート

2026年11月14日-11月20日 | Issue 2026-W46

モデル性能ではなく、権限・基盤・運用成果まで含む実装可能性

11	10
分析対象	重点テーマ

発行 2026-11-20 | 日本語版 | 承認済み固定表紙



AI・機械学習:個別発表から認定証拠へ境界が移動

日本語記事11件を棚卸しし、意思決定に重要なテーマを選定した。

シグナル 01 | モデル・データ

Microsoft AI|新モデル7種の性能とコスト|GPT-6等との比較と価格効率

Microsoft AI(MAI)が、コストパフォーマンスを極限まで高めた7つの新しいワールドクラスモデルをリリースした。MAI Cyber 2 FlashやMAI Code 2などのモデルは、GPT-6やClaude Opus 5.5といった競合の高性能モデルに匹敵する品質を維持しつつ、コストを大幅に削減している。これにより、24時間365日のエージェント運用や大規模なエンタープライズ実装におけるトークンコストの課題を解決し、実用的なエンジニアリングワークへの適用を加速させる。

シグナル 02 | 計算資源

CGMap|がん遺伝子スクリーニングを効率化する解釈可能なグラフ学習フレームワーク

がん遺伝子(CG)の優先順位付けを行う、解釈可能なグラフ学習フレームワーク「CGMap」が開発されました。12,022個の遺伝子を解析した結果、既存手法を上回る性能で70個の信頼性の高い候補遺伝子を特定し、その中には既存データベースに未登録のものも含まれていました。この手法は、分散したオンコジェニック信号を効率的に統合し、メカニズムの追跡を可能にするため、精密腫瘍学における候補遺伝子の特定プロセスを加速させます。

シグナル 03 | 基盤

Gemini 4 Neon|Googleの新型AIモデル、性能指標とコスト・実装能力

Googleが、複雑なソフトウェアエンジニアリングや科学ワークフローを高速に完結させる新型モデル「Gemini 4 Neon」を発表した。Artificial Analysis Intelligence Indexのxhigh思考レベルでスコア61を記録し、総合3位にランクインしている。低コストながら高い推論能力と制御性を備えており、実用的なエージェントワークフローの効率化を実現する。

シグナル 04 | 業務実装

NVIDIA Nemotron for Science|科学特化型AIエージェントの構築手法と性能

NVIDIAは、科学的発見を加速させるためのAIエージェント構築プラットフォーム「NVIDIA Nemotron for Science」を発表した。オープンモデルのNemotron 3.5 Super VLをベースに、化学推論用のデータセット「LitmusBench v0.2」やポストトレーニング用レシピを提供し、ドメイン特化型エージェントの開発を支援する。これにより、研究者は複雑な科学的問題の推論や、実験プロトコルの自動設計、タンパク質設計などの高度なタスクを効率化できる。

編集判断

今週の経営判断は モデル性能ではなく、権限・基盤・運用成果まで含む実装可能性 に集中する。自社条件で関連証拠を再現できる場合だけ次へ進む。

経営の3アクション

1. 事業会社: 代表業務で精度・遅延・電力・監査・停止条件を同時評価する.
2. 供給企業: モデルや半導体の性能を業務単位の原価・信頼性・更新条件へ変換する.
3. 経営層: 統合時期、運用費、権限、説明責任、業務成果.

証拠の読み方

FACTは収集記事に書かれた内容、事業への読みとACTIONは編集判断、UNKNOWNは記事だけでは確定しない項目を示す。リンク先があることだけで、全主張が独立検証済みとは扱わない。

条件と一緒に読む主要数値・証拠

24時間
A06

数値の条件
Microsoft AI(MAI)が、コストパフォーマンスを極限まで高めた7つの新しいワールドクラスモデルをリリースした。MAI Cyber 2 FlashやMAI Code 2などのモデルは、GPT-6やClaude Opus 5.5といった競合の高性能モデルに匹敵する品質を維持しつつ、コストを大幅に削減している。

1000 G
A03

数値の条件
DNAの修飾と遺伝的変異の両方を認識可能なDNA大規模言語モデル「ModBERT」が開発されました。1000 Genomes Long-Read Sequencing Consortiumの242人分のデータを用い、A, C, G, Tに5mC(メチル化シトシン)を加えた5文字の確率的表現を採用しています。これにより、個人のゲノムに特化した予測が可能となり、従来の参照ゲノムベースのモデルでは困難だった個人間の制御差の解明に寄与します。

000倍
A09

数値の条件
NVIDIAがIBMおよびフェルミ国立加速器研究所(Fermilab)と、量子・古典共同設計(Codesign)プラットフォームを立ち上げる。NVIDIA DGX B200とIBMの最新量子プロセッサ「Quantum Nighthawk」を統合し、量子誤り訂正や科学アプリケーションの研究を加速させる。また、デコード速度を最大13,000倍に高める新アルゴリズムを導入し、実用的なフォールトトレラント量子計算への道を短縮する。

13%
A10

数値の条件
OpenAIは、自社モデルを用いてAIチップの設計を加速させ、電力・性能・面積(PPA)の有意な改善を達成した。自社開発の推論チップ「Jalapeño」では標準セル面積を最大13%削減し、AMDのフラッグシップGPU IPでは最大14%の改善を確認している。この成果は、AIモデルが熟練のマイクロアーキテクトと同レベルで回路記述言語(RTL)を最適化できることを示しており、チップ開発期間の劇的な短縮を可能にする。

89%
A02

数値の条件
富士通Japanが国立がん研究センター東病院およびParadigm Health社と共同で、AIを用いた治験参加候補者の抽出に関する研究成果を発表した。LLMを用いて電子カルテの非構造化データを構造化し、特定の遺伝子変異を持つ患者を効率的に抽出した結果、医師がレビューすべき患者数を約89%削減した。これにより、膨大なカルテからの候補者特定にかかる医療スタッフの負荷軽減と、治験機会の迅速な提供が期待される。

数値の読み方
数値は収集記事が示した条件と一緒に掲載する。試験法、寸法、温度、商用段階が異なる値を、条件補正なしで比較しない。

バリューチェーンはどこで動いたか

各段階に主テーマと補助テーマを接続する。矢印は装飾ではなく、次工程へ渡す証拠を示す。

1

モデル・データ

P01/P06

Microsoft AI(MAI)が、コストパフォーマンスを極限まで高めた7つの新しいワールドクラスモデルをリリースした。MAI Cyber 2 FlashやMAI Code 2などのモデルは、GPT-6やClaude Opus 5.

2

計算資源

P02/P07

がん遺伝子(CG)の優先順位付けを行う、解釈可能なグラフ学習フレームワーク「CGMap」が開発されました。

3

基盤

P03/P08

Googleが、複雑なソフトウェアエンジニアリングや科学ワークフローを高速に完結させる新型モデル「Gemini 4 Neon」を発表した。

4

業務実装

P04/P09

NVIDIAは、科学的発見を加速させるためのAIエージェント構築プラットフォーム「NVIDIA Nemotron for Science」を発表した。オープンモデルのNemotron 3.

5

統制・運用

P05/P10

DNAの修飾と遺伝的変異の両方を認識可能なDNA大規模言語モデル「ModBERT」が開発されました。

各受渡しで必要な証拠

モデル・データ → 計算資源	試験条件、受入基準、故障データ、担当、判断日を渡し、再確認する: 統合時期、運用費、権限、説明責任、業務成果.
計算資源 → 基盤	試験条件、受入基準、故障データ、担当、判断日を渡し、再確認する: 統合時期、運用費、権限、説明責任、業務成果.
基盤 → 業務実装	試験条件、受入基準、故障データ、担当、判断日を渡し、再確認する: 統合時期、運用費、権限、説明責任、業務成果.
業務実装 → 統制・運用	試験条件、受入基準、故障データ、担当、判断日を渡し、再確認する: 統合時期、運用費、権限、説明責任、業務成果.

共通管理点

担当者が関連証拠を再現し、次を記録するまで商用判断へ進めない: 統合時期、運用費、権限、説明責任、業務成果.

プライオリティマップ:実装成熟度と次の判断場所

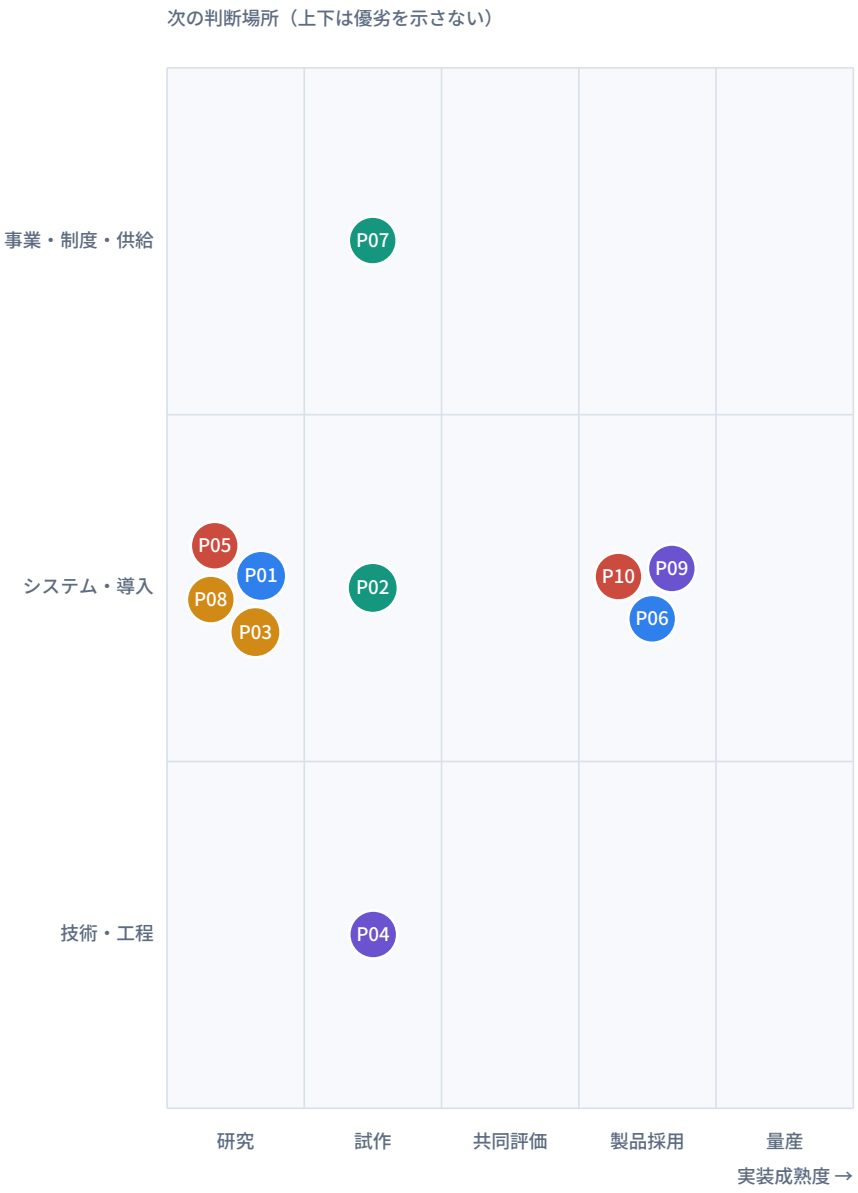

P01	Microsoft AI|新モデル7種の性能とコスト|GPT-6等との比較と価格効率 システム・導入 | 根拠: 実装
P02	CGMap|がん遺伝子スクリーニングを効率化する解釈可能なグラフ学習フレームワーク システム・導入 | 根拠: 統合
P03	Gemini 4 Neon|Googleの新型AIモデル、性能指標とコスト・実装能力 システム・導入 | 根拠: 実装
P04	NVIDIA Nemotron for Science|科学特化型AIエージェントの構築手法と性能 技術・工程 | 根拠: 統合・事業語なし
P05	ModBERT|DNA修飾と遺伝的変異を考慮したLLMの性能と予測精度 システム・導入 | 根拠: 採用
P06	NVIDIA・IBM・Fermilab|量子・古典共同設計プラットフォームの性能と課題 システム・導入 | 根拠: 統合
P07	OpenAIモデル|チップ設計の自動最適化によるPPA向上とAMDへの適用成果 事業・制度・供給 | 根拠: 標準
P08	富士通Japan|LLMによる治験候補者の抽出効率化、レビュー対象を89%削減した手法 システム・導入 | 根拠: 治験
P09	OpenAI|AMD GPU設計でのPPA 14%向上とSynopsysとの共同開発の詳細 システム・導入 | 根拠: 製品化
P10	GPT-6.2 AstraおよびSol|OpenAIの新モデルの性能・コスト・専門業務能力 システム・導入 | 根拠: 導入

再現可能な配置ルール
横軸は研究・試作・共同評価・製品採用・量産の5段階。縦の帯は次の判断場所を技術・工程、システム・導入、事業・制度・供給に分ける。まず記事見出しの根拠語を使い、見出しで判断できない場合だけ概要を参照する。上下は影響の大小を意味しない。円径は編集スコアを示す。

FACTは収集記事に接続し、事業への読み、ACTION、UNKNOWNは編集判断として分離する。

P01 Microsoft AI|新モデル7種の性能とコスト|GPT-6等との比較と価格効率

A06 | モデル・データ | 研究 2026-11-17

FACT
Microsoft AI(MAI)が、コストパフォーマンスを極限まで高めた7つの新しいワールドクラスモデルをリリースした。MAI Cyber 2 FlashやMAI Code 2などのモデルは、GPT-6やClaude Opus 5.5といった競合の高性能モデルに匹敵する品質を維持しつつ、コストを大幅に削減している。これにより、24時間365日のエージェント運用や大規模なエンタープライズ実装におけるトークンコストの課題を解決し、実用的なエンジニアリングワークへの適用を加速させる。

なぜ重要か
判断上の焦点は「モデル性能ではなく、権限・基盤・運用成果まで含む実装可能性」である。見出しだけで採用せず、用途と運用条件で再現できるかを確認する。

事業への読み
事業会社は現在の認定・調達・製品ロードマップへの影響を比較する。材料・装置・技術企業は、モデルや半導体の性能を業務単位の原価・信頼性・更新条件へ変換する。

ACTION
30日以内に、代表業務で精度・遅延・電力・監査・停止条件を同時評価する。結果と担当者をP01の評価票へ記録する。

UNKNOWN
記事だけでは確定しない項目: 統合時期、運用費、権限、説明責任、業務成果。

編集スコア 19/25 | 成熟度 1/5 | 判断場所: システム・導入

P02 CGMap|がん遺伝子スクリーニングを効率化する解釈可能なグラフ学習フレームワーク

A01 | 計算資源 | 試作 2026-11-16

FACT
がん遺伝子(CG)の優先順位付けを行う、解釈可能なグラフ学習フレームワーク「CGMap」が開発されました。12,022個の遺伝子を解析した結果、既存手法を上回る性能で70個の信頼性の高い候補遺伝子を特定し、その中には既存データベースに未登録のものも含まれていました。この手法は、分散したオンコジェニック信号を効率的に統合し、メカニズムの追跡を可能にするため、精密腫瘍学における候補遺伝子の特定プロセスを加速させます。

なぜ重要か
判断上の焦点は「モデル性能ではなく、権限・基盤・運用成果まで含む実装可能性」である。見出しだけで採用せず、用途と運用条件で再現できるかを確認する。

事業への読み
事業会社は現在の認定・調達・製品ロードマップへの影響を比較する。材料・装置・技術企業は、モデルや半導体の性能を業務単位の原価・信頼性・更新条件へ変換する。

ACTION
30日以内に、代表業務で精度・遅延・電力・監査・停止条件を同時評価する。結果と担当者をP02の評価票へ記録する。

UNKNOWN
記事だけでは確定しない項目: 統合時期、運用費、権限、説明責任、業務成果。

編集スコア 19/25 | 成熟度 2/5 | 判断場所: システム・導入

FACTは収集記事に接続し、事業への読み、ACTION、UNKNOWNは編集判断として分離する。

P03 Gemini 4 Neon|Googleの新型AIモデル、性能指標とコスト・実装能力

A04 | 基盤 | 研究

2026-11-18

FACT

Googleが、複雑なソフトウェアエンジニアリングや科学ワークフローを高速に完結させる新型モデル「Gemini 4 Neon」を発表した。Artificial Analysis Intelligence Indexのxhigh思考レベルでスコア61を記録し、総合3位にランクインしている。低コストながら高い推論能力と制御性を備えており、実用的なエージェントワークフローの効率化を実現する。

なぜ重要か

判断上の焦点は「モデル性能ではなく、権限・基盤・運用成果まで含む実装可能性」である。見出しだけで採用せず、用途と運用条件で再現できるかを確認する。

事業への読み

事業会社は現在の認定・調達・製品ロードマップへの影響を比較する。材料・装置・技術企業は、モデルや半導体の性能を業務単位の原価・信頼性・更新条件へ変換する。

ACTION

30日以内に、代表業務で精度・遅延・電力・監査・停止条件を同時評価する。結果と担当者をP03の評価票へ記録する。

UNKNOWN

記事だけでは確定しない項目: 統合時期、運用費、権限、説明責任、業務成果。

編集スコア 19/25 | 成熟度 1/5 | 判断場所: システム・導入

P04 NVIDIA Nemotron for Science|科学特化型AIエージェントの構築手法と性能

A08 | 業務実装 | 試作

2026-11-16

FACT

NVIDIAは、科学的発見を加速させるためのAIエージェント構築プラットフォーム「NVIDIA Nemotron for Science」を発表した。オープンモデルのNemotron 3.5 Super VLをベースに、化学推論用のデータセット「LitmusBench v0.2」やポストトレーニング用レシピを提供し、ドメイン特化型エージェントの開発を支援する。これにより、研究者は複雑な科学的問題の推論や、実験プロトコルの自動設計、タンパク質設計などの高度なタスクを効率化できる。

なぜ重要か

判断上の焦点は「モデル性能ではなく、権限・基盤・運用成果まで含む実装可能性」である。見出しだけで採用せず、用途と運用条件で再現できるかを確認する。

事業への読み

事業会社は現在の認定・調達・製品ロードマップへの影響を比較する。材料・装置・技術企業は、モデルや半導体の性能を業務単位の原価・信頼性・更新条件へ変換する。

ACTION

30日以内に、代表業務で精度・遅延・電力・監査・停止条件を同時評価する。結果と担当者をP04の評価票へ記録する。

UNKNOWN

記事だけでは確定しない項目: 統合時期、運用費、権限、説明責任、業務成果。

編集スコア 18/25 | 成熟度 2/5 | 判断場所: 技術・工程

FACTは収集記事に接続し、事業への読み、ACTION、UNKNOWNは編集判断として分離する。

P05 ModBERT|DNA修飾と遺伝的変異を考慮したLLMの性能と予測精度

A03 | 統制・運用 | 研究

先行発表 2026-11-13

FACT

DNAの修飾と遺伝的変異の両方を認識可能なDNA大規模言語モデル「ModBERT」が開発されました。1000 Genomes Long-Read Sequencing Consortiumの242人分のデータを用い、A, C, G, Tに5mC(メチル化シトシン)を加えた5文字の確率的表現を採用しています。これにより、個人のゲノムに特化した予測が可能となり、従来の参照ゲノムベースのモデルでは困難だった個人間の制御差の解明に寄与します。

なぜ重要か

判断上の焦点は「モデル性能ではなく、権限・基盤・運用成果まで含む実装可能性」である。見出しだけで採用せず、用途と運用条件で再現できるかを確認する。

事業への読み

事業会社は現在の認定・調達・製品ロードマップへの影響を比較する。材料・装置・技術企業は、モデルや半導体の性能を業務単位の原価・信頼性・更新条件へ変換する。

ACTION

30日以内に、代表業務で精度・遅延・電力・監査・停止条件を同時評価する。結果と担当者をP05の評価票へ記録する。

UNKNOWN

記事だけでは確定しない項目: 統合時期、運用費、権限、説明責任、業務成果。

編集スコア 18/25 | 成熟度 1/5 | 判断場所: システム・導入

P06 NVIDIA・IBM・Fermilab|量子・古典共同設計プラットフォームの性能と課題

A09 | モデル・データ | 製品採用

2026-11-16

FACT

NVIDIAがIBMおよびフェルミ国立加速器研究所(Fermilab)と、量子・古典共同設計(Codesign)プラットフォームを立ち上げる。NVIDIA DGX B200とIBMの最新量子プロセッサ「Quantum Nighthawk」を統合し、量子誤り訂正や科学アプリケーションの研究を加速させる。また、デコード速度を最大13,000倍に高める新アルゴリズムを導入し、実用的なフォールトトレラント量子計算への道を短縮する。

なぜ重要か

判断上の焦点は「モデル性能ではなく、権限・基盤・運用成果まで含む実装可能性」である。見出しだけで採用せず、用途と運用条件で再現できるかを確認する。

事業への読み

事業会社は現在の認定・調達・製品ロードマップへの影響を比較する。材料・装置・技術企業は、モデルや半導体の性能を業務単位の原価・信頼性・更新条件へ変換する。

ACTION

30日以内に、代表業務で精度・遅延・電力・監査・停止条件を同時評価する。結果と担当者をP06の評価票へ記録する。

UNKNOWN

記事だけでは確定しない項目: 統合時期、運用費、権限、説明責任、業務成果。

編集スコア 18/25 | 成熟度 4/5 | 判断場所: システム・導入

FACTは収集記事に接続し、事業への読み、ACTION、UNKNOWNは編集判断として分離する。

P07 OpenAIモデル|チップ設計の自動最適化によるPPA向上とAMDへの適用成果

A10 | 計算資源 | 試作

2026-11-18

FACT

OpenAIは、自社モデルを用いてAIチップの設計を加速させ、電力・性能・面積(PPA)の有意な改善を達成した。自社開発の推論チップ「Jalapeño」では標準セル面積を最大13%削減し、AMDのフラッグシップGPU IPでは最大14%の改善を確認している。この成果は、AIモデルが熟練のマイクロアーキテクトと同レベルで回路記述言語(RTL)を最適化できることを示しており、チップ開発期間の劇的な短縮を可能にする。

なぜ重要か

判断上の焦点は「モデル性能ではなく、権限・基盤・運用成果まで含む実装可能性」である。見出しだけで採用せず、用途と運用条件で再現できるかを確認する。

事業への読み

事業会社は現在の認定・調達・製品ロードマップへの影響を比較する。材料・装置・技術企業は、モデルや半導体の性能を業務単位の原価・信頼性・更新条件へ変換する。

ACTION

30日以内に、代表業務で精度・遅延・電力・監査・停止条件を同時評価する。結果と担当者をP07の評価票へ記録する。

UNKNOWN

記事だけでは確定しない項目: 統合時期、運用費、権限、説明責任、業務成果。

編集スコア 18/25 | 成熟度 2/5 | 判断場所: 事業・制度・供給

P08 富士通Japan|LLMによる治験候補者の抽出効率化、レビュー対象を89%削減した手法

A02 | 基盤 | 研究

2026-11-20

FACT

富士通Japanが国立がん研究センター東病院およびParadigm Health社と共同で、AIを用いた治験参加候補者の抽出に関する研究成果を発表した。LLMを用いて電子カルテの非構造化データを構造化し、特定の遺伝子変異を持つ患者を効率的に抽出した結果、医師がレビューすべき患者数を約89%削減した。これにより、膨大なカルテからの候補者特定にかかる医療スタッフの負荷軽減と、治験機会の迅速な提供が期待される。

なぜ重要か

判断上の焦点は「モデル性能ではなく、権限・基盤・運用成果まで含む実装可能性」である。見出しだけで採用せず、用途と運用条件で再現できるかを確認する。

事業への読み

事業会社は現在の認定・調達・製品ロードマップへの影響を比較する。材料・装置・技術企業は、モデルや半導体の性能を業務単位の原価・信頼性・更新条件へ変換する。

ACTION

30日以内に、代表業務で精度・遅延・電力・監査・停止条件を同時評価する。結果と担当者をP08の評価票へ記録する。

UNKNOWN

記事だけでは確定しない項目: 統合時期、運用費、権限、説明責任、業務成果。

編集スコア 18/25 | 成熟度 1/5 | 判断場所: システム・導入

FACTは収集記事に接続し、事業への読み、ACTION、UNKNOWNは編集判断として分離する。

P09 OpenAI|AMD GPU設計でのPPA 14%向上とSynopsysとの共同開発の詳細

A11 | 業務実装 | 製品採用

2026-11-18

FACT

OpenAIのAIモデルが、AMDのフラグシップGPUにおいて電力・性能・面積(PPA)を最大14%向上させる設計変更を導き出した。この成果は、すでに高度に最適化されたベースラインを対象としたもので、一部の変更はすでに製造工程に組み込まれている。また、Synopsys社と共同でEDAツールを駆動する専用モデル「GPT-Synopsys」の開発に着手し、チップ設計の自動化を製品化する計画である。

なぜ重要か

判断上の焦点は「モデル性能ではなく、権限・基盤・運用成果まで含む実装可能性」である。見出しだけで採用せず、用途と運用条件で再現できるかを確認する。

事業への読み

事業会社は現在の認定・調達・製品ロードマップへの影響を比較する。材料・装置・技術企業は、モデルや半導体の性能を業務単位の原価・信頼性・更新条件へ変換する。

ACTION

30日以内に、代表業務で精度・遅延・電力・監査・停止条件を同時評価する。結果と担当者をP09の評価票へ記録する。

UNKNOWN

記事だけでは確定しない項目: 統合時期、運用費、権限、説明責任、業務成果。

編集スコア 18/25 | 成熟度 4/5 | 判断場所: システム・導入

P10 GPT-6.2 AstraおよびSol|OpenAIの新モデルの性能・コスト・専門業務能力

A05 | 統制・運用 | 製品採用

2026-11-17

FACT

OpenAIは、高度な専門業務向けの「GPT-6.2 Astra」と、日常的な汎用タスク向けの「GPT-6.2 Sol」を発表した。Astraは科学的ワークフローや法務、財務などの複雑な専門業務で高い性能を示し、特にコスト効率が大幅に向上している。これにより、企業や開発者はフロンティアレベルの性能を、より現実的なコストで大規模に導入することが可能になる。

なぜ重要か

判断上の焦点は「モデル性能ではなく、権限・基盤・運用成果まで含む実装可能性」である。見出しだけで採用せず、用途と運用条件で再現できるかを確認する。

事業への読み

事業会社は現在の認定・調達・製品ロードマップへの影響を比較する。材料・装置・技術企業は、モデルや半導体の性能を業務単位の原価・信頼性・更新条件へ変換する。

ACTION

30日以内に、代表業務で精度・遅延・電力・監査・停止条件を同時評価する。結果と担当者をP10の評価票へ記録する。

UNKNOWN

記事だけでは確定しない項目: 統合時期、運用費、権限、説明責任、業務成果。

編集スコア 18/25 | 成熟度 4/5 | 判断場所: システム・導入

関係者別プレイブックと0-5年ロードマップ

関係者	NOW | 0-30日	NEXT | 1-12か月	LATER | 1-5年
事業会社	代表業務で精度・遅延・電力・監査・停止条件を同時評価する	量産相当条件で受入基準と停止基準を明示して評価する。	技術・供給者の変更を吸収できるポートフォリオと設計へ移る。
材料・装置・技術企業	モデルや半導体の性能を業務単位の原価・信頼性・更新条件へ変換する	顧客と信頼性・工程窓・故障解析の共通データを作る。	界面、履歴、ライフサイクル支援、回収サービスを標準化する。
商社・投資・法務	Map 統合時期、運用費、権限、説明責任、業務成果.	能力、品質、変更通知、責任、代替、撤退を契約へ入れる。	地域・技術・顧客の集中リスクを分散する。

ロードマップ

NOW | 0-30日
証拠台帳
担当: Strategy + quality
成果物: claim, source, condition, owner

NOW | 0-30日
リスク選別
担当: Procurement + legal
成果物: unknowns, alternatives, stop

NEXT | 1-12か月
共同認定
担当: R&D + supplier
成果物: 工程窓・故障データ

NEXT | 1-12か月
商用ゲート
担当: Business + finance
成果物: 単位採算・供給能力

LATER | 1-5年
プラットフォーム戦略
担当: 経営
成果物: ポートフォリオ・界面ロードマップ

LATER | 1-5年
サービス層
担当: Operations + channel
成果物: 監視・保守・回復

Go / No-Goゲート

ゲート	担当	必要な証拠	中止条件
G1 証拠	**品質**	出典・試験条件・再現性	追跡可能な証拠なし
G2 統合	**研究開発**	界面・工程窓・故障解析	システム条件を満たさない
G3 商用	**事業**	能力・総原価・契約・代替	採算または供給が成立しない
G4 運用	**運用**	監視・保守・変更通知・撤退	責任ある運用計画なし

分析対象記事 | 01-11件目

全記事の正式タイトルと元記事URLを省略せず表示する。URLは折返しても全文を保持し、クリックできる。

ID	記事タイトル(全文)	元記事URL(全文・クリック可能)
A01	CGMap|がん遺伝子スクリーニングを効率化する解釈可能なグラフ学習フレームワーク	https://www.nature.com/articles/s42256-026-01327-4
A02	富士通Japan|LLMによる治験候補者の抽出効率化、レビュー対象を89%削減した手法	https://jp.ibtimes.com/fujitsu-japan-ai-study-cuts-clinical-trial-patient-review-pool-89-105276
A03	ModBERT|DNA修飾と遺伝的変異を考慮したLLMの性能と予測精度	https://doi.org/10.64898/2026.11.12.766258
A04	Gemini 4 Neon|Googleの新型AIモデル、性能指標とコスト・実装能力	https://blog.google/innovation-and-ai/models-and-research/gemini-models/introducing-gemini-4-neon/
A05	GPT-6.2 AstraおよびSol|OpenAIの新モデルの性能・コスト・専門業務能力	https://openai.com/index/introducing-gpt-6-2-astra-sol/
A06	Microsoft AI|新モデル7種の性能とコスト|GPT-6等との比較と価格効率	https://microsoft.ai/news/microsoft-ignite-2026/
A07	NVIDIA Vera Rubin|MLPerfベンチマークでの性能とエージェントAI推論効率	https://blogs.nvidia.com/blog/mlperf-training-endpoints-vera-rubin/
A08	NVIDIA Nemotron for Science|科学特化型AIエージェントの構築手法と性能	https://nvidianews.nvidia.com/news/nvidia-introduces-nemotron-for-science-to-accelerate-discoveries-with-agents
A09	NVIDIA・IBM・Fermilab|量子・古典共同設計プラットフォームの性能と課題	https://nvidianews.nvidia.com/news/nvidia-announces-collaboration-with-ibm-and-fermi-national-accelerator-laboratory-to-launch-quantum-classical-codesign-platform-plus-error-correction-breakthrough-to-advance-practical-quantum-computing
A10	OpenAIモデル|チップ設計の自動最適化によるPPA向上とAMDへの適用成果	https://openai.com/index/advancing-chip-design-with-our-models/
A11	OpenAI|AMD GPU設計でのPPA 14%向上とSynopsysとの共同開発の詳細	https://aiweekly.co/alerts/openai-says-models-found-14-ppa-gains-in-amd-gpu-designs

AI・機械学習 採用記事全文集

出力日: 2026-11-22

採用記事数: 11 件

収録記事一覧

#01 CGMap｜がん遺伝子スクリーニングを効率化する解釈可能なグラフ学習フレームワーク
#02 富士通Japan｜LLMによる治験候補者の抽出効率化、レビュー対象を89%削減した手法
#03 ModBERT｜DNA修飾と遺伝的変異を考慮したLLMの性能と予測精度
#04 Gemini 4 Neon｜Googleの新型AIモデル、性能指標とコスト・実装能力
#05 GPT-6.2 AstraおよびSol｜OpenAIの新モデルの性能・コスト・専門業務能力
#06 Microsoft AI｜新モデル7種の性能とコスト｜GPT-6等との比較と価格効率
#07 NVIDIA Vera Rubin｜MLPerfベンチマークでの性能とエージェントAI推論効率
#08 NVIDIA Nemotron for Science｜科学特化型AIエージェントの構築手法と性能
#09 NVIDIA・IBM・Fermilab｜量子・古典共同設計プラットフォームの性能と課題
#10 OpenAIモデル｜チップ設計の自動最適化によるPPA向上とAMDへの適用成果
#11 OpenAI｜AMD GPU設計でのPPA 14%向上とSynopsysとの共同開発の詳細

#01 CGMap｜がん遺伝子スクリーニングを効率化する解釈可能なグラフ学習フレームワーク

公開日 2026年11月16日　Nature Machine Intelligence

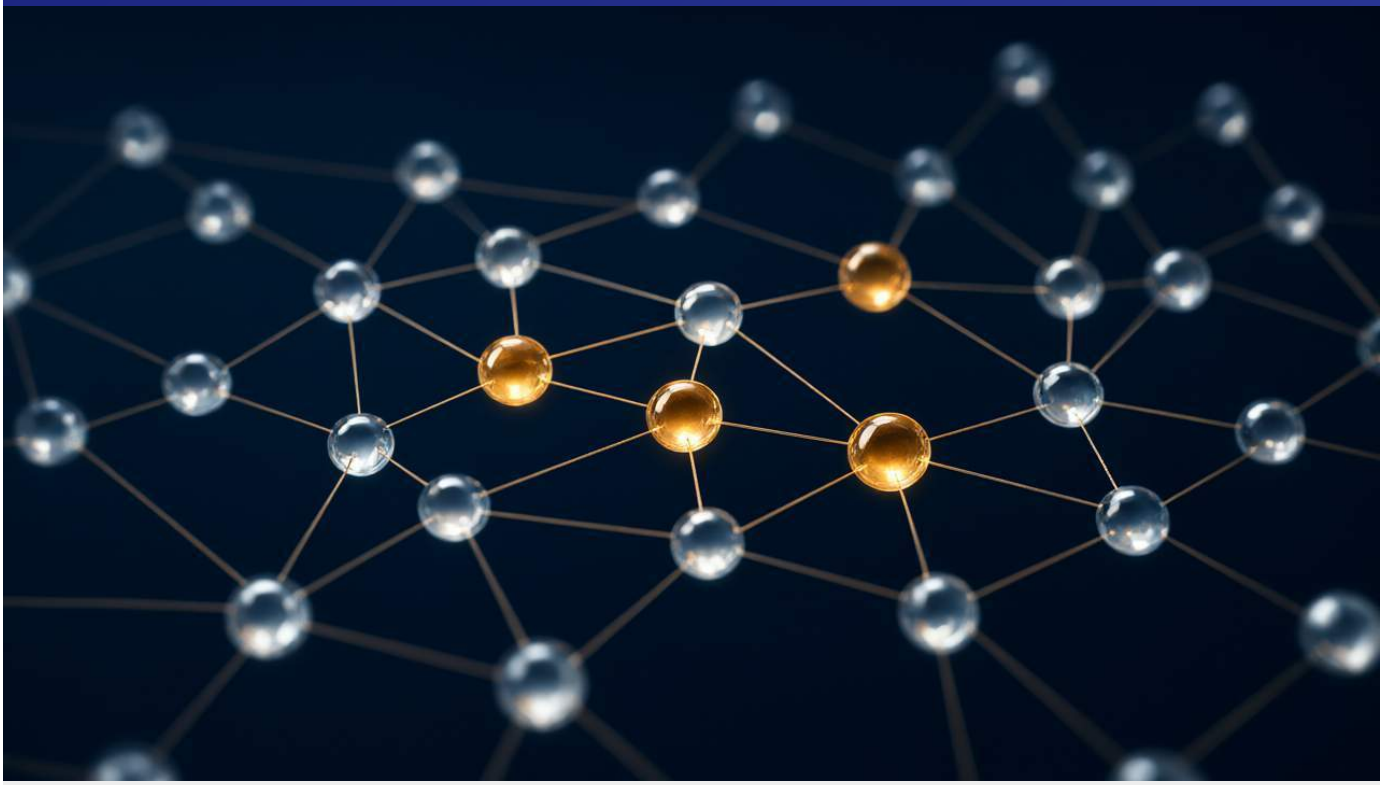

概要

がん遺伝子（CG）の優先順位付けを行う、解釈可能なグラフ学習フレームワーク「CGMap」が開発されました。12,022個の遺伝子を解析した結果、既存手法を上回る性能で70個の信頼性の高い候補遺伝子を特定し、その中には既存データベースに未登録のものも含まれていました。この手法は、分散したオンコジェニック信号を効率的に統合し、メカニズムの追跡を可能にするため、精密腫瘍学における候補遺伝子の特定プロセスを加速させます。

詳細

主要成果

研究チームは、バイオ分子ネットワークから潜在的ながん遺伝子（CG）を優先的に抽出するための解釈可能なグラフ学習フレームワーク「CGMap」を開発しました。パンキャンサー（汎がん）設定において12,022個の遺伝子を解析した結果、CGMapは計算効率を維持しながら既存の手法を一貫して上回る性能を示しました。具体的には、70個の信頼性の高い候補遺伝子を優先的に特定し、その中には既存の確立されたデータベースに未登録の遺伝子も含まれていました。さらに、並行して行われた機能喪失アッセイ（loss-of-function assays）により、これらの候補遺伝子が細胞増殖、遊走、浸潤といった腫瘍関連表現型の抑制に関連していること、および上皮間葉転換（EMT）関連の特徴を非間葉系状態へと移行させることが確認されました。

技術・詳細

CGMapは、幅指向の並列アーキテクチャを採用しており、以下の技術的特徴を備えています。

- **距離分解チャネル（Distance-resolved channels）：** 複数のトポロジー尺度にわたって空間的に分散したCG信号を局在化させ、表現の均質化（representation homogenization）を回避します。
- **グローバル拡散モジュール（Global diffusion module）：** パスウェイの文脈に沿って遺伝子の協調性を定量化します。これにより、予測結果を潜在的な調節仮説へとマッピングする「追跡可能な仮想相互作用」を生成し、モデルの決定に対する本質的な解釈可能性を提供します。

本フレームワークのソースコードおよびデータはGitHubおよびZenodoで公開されており、ハイパーパラメータの自動探索にはOptuna v.4が使用されています。

背景・業界の文脈

精密腫瘍学において、がん遺伝子の体系的なスクリーニングは中心的な目標ですが、疎らで空間的に分散したオンコジェニック信号を統合し、検証可能な候補を特定することは依然として困難な課題でした。本研究では、NCG7.2（Network of Cancer Genes）のCCGコホートや、GEPIA2、TIMER 2.0、CancerSEAなどのデータソースを用いて検証が行われています。また、既存のグラフ表現学習のベンチマークや、Somatic mutations（体細胞変異）が遺伝子発現に与える影響を分析した先行研究などの知見が基盤となっています。

今後の展望

CGMapによって特定された未登録の候補遺伝子が、今後の機能解析や治療標的の探索に寄与することが期待されます。特に、計算効率が高く、かつ予測の根拠をメカニズムとして追跡できる「解釈可能性」を備えているため、バイオインフォマティクスによる予測からウェットな実験検証への移行をよりスムーズにする可能性があります。

元記事: https://www.nature.com/articles/s42256-026-01327-4

収集日: 2026年11月21日 | 自動記事収集・翻訳システム (AI使用)

#02 富士通Japan｜LLMによる治験候補者の抽出効率化、レビュー対象を89%削減した手法

公開日 2026年11月20日　International Business Times　日本



概要

富士通Japanが国立がん研究センター東病院およびParadigm Health社と共同で、AIを用いた治験参加候補者の抽出に関する研究成果を発表した。LLMを用いて電子カルテの非構造化データを構造化し、特定の遺伝子変異を持つ患者を効率的に抽出した結果、医師がレビューすべき患者数を約89%削減した。これにより、膨大なカルテからの候補者特定にかかる医療スタッフの負荷軽減と、治験機会の迅速な提供が期待される。

詳細

主要成果

富士通Japanは、LLM（大規模言語モデル）を活用して治験の参加候補者を効率的に抽出する手法を検証し、医師によるレビューが必要な患者数を約89%削減できることを示した。2026年6月から10月末までに行われたこの共同研究では、国立がん研究センター東病院および米国のParadigm Health社が参画した。シミュレーションの結果、AIが優先レビュー対象として抽出した57名の候補者のうち、医師が実際に有望と判断したのは51名に達した。

技術・詳細

本手法では、呼吸器内科の患者22,334名の記録を対象に、LLMとParadigm社の治験マッチングプラットフォームを組み合わせて運用した。具体的なプロセスは以下の通りである。

- **データの構造化：** 肺がん患者3,027名の電子カルテから、匿名化処理を施した上で、非構造化情報を構造化データへ変換した。
- **情報の抽出：** LLMを用いて、臨床ノート、治療歴、ゲノム検査結果から治験の適格性判断に必要な情報を抽出した。
- **マッチング：** 構造化されたデータをParadigmプラットフォームに連携させ、EGFR遺伝子変異を持つ患者540名を対象に、5つの適格性基準に照らして評価を行った。

この自動スクリーニングを夜間に実行することで、医療スタッフが確認すべきレコード数を大幅に削減し、ワークロードの軽減と候補者特定までの時間短縮を可能にした。なお、AIによる抽出はあくまで候補の提示であり、最終的な適格性の判断と参加同意は医師と患者の間で行われる。

背景・業界の文脈

治験の候補者募集は極めて労力がかかる工程である。従来は医師の経験に基づき個別のカルテを確認していたが、近年の治験では遺伝子変異やバイオマーカーに基づく詳細な適格条件が求められる。そのため、臨床ノートや検査結果など、分散して記録された情報を統合的に評価する必要があり、負担が増大していた。また、日本国内では海外で承認済みの薬剤が導入されない「ドラッグロス」が課題となっており、形式の異なる電子カルテのデータ活用や、国際的な治験マッチングへの対応が急務となっている。

今後の展望

富士通Japanは、本研究成果に基づき、候補者の特定から登録までを支援するサービスの提供を2027年度（2028年3月まで）に開始することを目指している。今後は、候補者選択の精度向上を図るとともに、対象となる疾患や診療科を拡大し、日本国内の医療機関への導入を推進する計画である。

元記事: https://jp.ibtimes.com/fujitsu-japan-ai-study-cuts-clinical-trial-patient-review-pool-89-105276

収集日: 2026年11月21日 | 自動記事収集・翻訳システム (AI使用)

#03 ModBERT｜DNA修飾と遺伝的変異を考慮したLLMの性能と予測精度

公開日 2026年11月13日　bioRxiv



概要

DNAの修飾と遺伝的変異の両方を認識可能なDNA大規模言語モデル「ModBERT」が開発されました。1000 Genomes Long-Read Sequencing Consortiumの242人分のデータを用い、A, C, G, Tに5mC（メチル化シトシン）を加えた5文字の確率的表現を採用しています。これにより、個人のゲノムに特化した予測が可能となり、従来の参照ゲノムベースのモデルでは困難だった個人間の制御差の解明に寄与します。

詳細

主要成果

ModBERTは、DNAのメチル化情報と遺伝的変異を同時に扱うことで、個人のゲノムに特化した予測を実現するフレームワークを確立しました。検証において、ModBERTはヒストンマーク（11種類）や転写因子結合（69種類のTF）のChIP-seqデータからピークを分類するタスクで、ゼロから学習させたモデルやメチル化情報を除いたModBERTを上回る性能を示しました。また、未知の個人の未知の領域におけるクロマチンアクセシビリティをAUROC 0.88で予測することに成功しています。

技術・詳細

本モデルの最大の特徴は、DNAを単なる塩基配列ではなく、A, C, G, Tおよび5mC（Mとして表現）の分布として扱う「5文字の確率的ゲノム表現」を採用した点にあります。プリトレーニング段階では、1000 Genomes Long-Read Sequencing Consortiumの242人分から得られた集団のアレル頻度とCpGメチル化レベルを、ソフトターゲット・マスクド言語モデリング（MLM）目的関数を用いて学習させています。

さらに、特定の個人のジェノタイプとメチル化状態をエンコードする「確率的ファインチューニング（probabilistic fine-tuning）」を提案しています。この手法により、単一のアッセイから個人固有の予測を行うことが可能となりました。また、インシリコでのメチル化摂動実験の結果、得られた転写因子（TF）の感受性は、独立したメチル化認識モチーフモデルと相関することが確認されています。変異効果の予測においては、連鎖不平衡による関連ではなく、因果関係にある可能性が高いcaQTLsと一致（Spearman ρ = 0.52）するという結果を得ています。

背景・業界の文脈

DNABERT-2やNucleotide Transformerなどの既存のDNA大規模言語モデル（LLM）の多くは、主に参照ゲノムを用いてプリトレーニングされています。しかし、人間個々の調節領域の違いに直接関与しているのは、遺伝的変異とDNAメチル化の2点です。近年のNanoporeやPacBioといったロングリードシーケンシング技術の発展により、同一のネイティブDNA分子からこれら両方の情報を同時に測定できるようになりましたが、この統合的な出力を活用できるモデルはこれまで存在しませんでした。

今後の展望

ModBERTは、共有の参照ゲノムではなく、個人の遺伝的・エピジェネティックな配列を直接読み取る「パーソナルゲノム言語モデリング」の枠組みを提示しました。今後、1KGPやHuman Pangenome Reference Consortiumのような集団規模のロングリードコホートが拡大することで、遺伝的変異やメチル化が遺伝子調節に与える影響をインシリコで解析し、実験的検証に向けた候補を効率的に優先順位付けすることが可能になると期待されます。

元記事: https://doi.org/10.64898/2026.11.12.766258

収集日: 2026年11月21日 | 自動記事収集・翻訳システム (AI使用)

#04 Gemini 4 Neon｜Googleの新型AIモデル、性能指標とコスト・実装能力

公開日 2026年11月18日　Google（The Keyword）　アメリカ

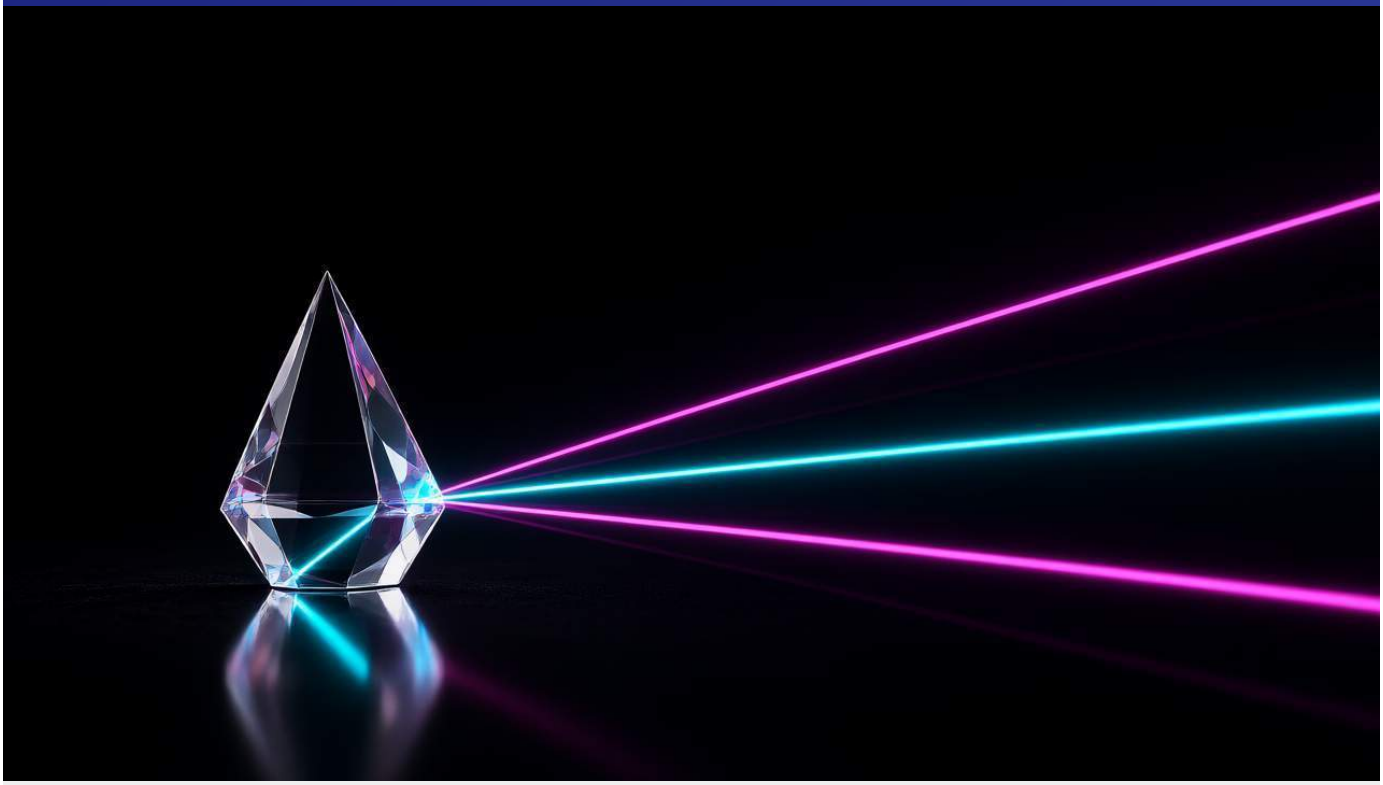

概要

Googleが、複雑なソフトウェアエンジニアリングや科学ワークフローを高速に完結させる新型モデル「Gemini 4 Neon」を発表した。Artificial Analysis Intelligence Indexのxhigh思考レベルでスコア61を記録し、総合3位にランクインしている。低コストながら高い推論能力と制御性を備えており、実用的なエージェントワークフローの効率化を実現する。

詳細

主要成果

Gemini 4 Neonは、複雑なソフトウェア開発、ナレッジワーク、科学的ワークフローにおいて、フロントエンドレベルの知能と高速なタスク完結能力を提供します。性能面では、Artificial Analysis Intelligence Indexのxhigh思考レベルでスコア61を記録し、総合3位に位置しています。また、Vals Indexでは2位にランクインし、パレート境界（効率の最適点）に到達しました。さらに、タスク途中のユーザー修正に柔軟に適応する「ステアラビリティ（制御性）」を測るAgent Arena Indexでも2位を記録しています。内部テストのGoogle Antigravityにおいては、これまでで最低の捏造（fabrication）率を達成しました。

技術・詳細

本モデルは100万トークンのコンテキストウィンドウを備え、入力100万トークンあたり3ドル（キャッシュ済み入力は0.15ドル）、出力100万トークンあたり15ドルで提供されます。思考レベルは4段階に設定されており、ワークロードに応じて知能とトークンコストを調整可能です。デフォルトのhigh思考レベルでは、Carbonと比較してタスクあたりのコストを32%削減しつつ、高い知能スコアを維持しています。また、xhigh思考レベルでは、競合する最高設定のモデルよりもタスクコストを36%以上抑えながら、最も高い知能スコアを実現しています。

具体的なベンチマーク性能は以下の通りです。

- **エンタープライズ・分析：** Legal Research BenchおよびTax Agent Benchで1位を獲得。Vals Indexでは70.9%で2位となりました。また、ZapierのAutomationBench（56.3%）とAndon LabsのVending-Bench 2（16,843ドル）で総合1位を記録しています。
- **科学・数学：** Terminal-Bench Science（70.5%）、RiemannBench（84.0%）、HLE-Diamond（71.3%）でクラス最高の性能を示しました。
- **コーディング：** Artificial Analysis Coding Agent Indexで総合1位（58.6）を記録。Terminal-Bench 4.1で65.2%、FrontierCode 2.0で46.2%（デフォルトhigh設定）を達成しました。

実装能力と実例

Gemini 4 Neonは、単体での動作だけでなく、Google Antigravityにおいて並列動作するHydrogenサブエージェントを指揮する高速なオーケストレーターとしても機能します。これにより、冗長なファイル読み込みの削減やコンテキスト圧縮の信頼性向上が図られています。実例として、Google Antigravity上での以下の成果が挙げられています。

- WebGL2を用いた一人称視点のスキーシミュレーターをゼロから構築（カスタムシェーダー10,200行、120Hzの物理演算を含む）。
- アラン・チューリングの1936年の研究室をインタラクティブな3D空間で再現。
- 単一の画像から、50万以上のライブ数式を用いてエッジ検出や3D深度マップを行う10万セルのGoogleスプレッドシートを生成。

今後の展開

Gemini 4 Neonは、Gemini API（Google AI Studio）、ビジネス向けGemini、およびGoogle AI Pro/Ultraサブスクリプションユーザー向けのGoogle AntigravityやGeminiアプリを通じて順次提供されます。生産準備が整ったコードの生成において、リポジトリを跨いだマルチファイルデバッグやリファクタリングなどの外科的な編集を可能にし、開発ワークフローの高度化を推進します。

元記事: https://blog.google/innovation-and-ai/models-and-research/gemini-models/introducing-gemini-4-neon/

収集日: 2026年11月21日 | 自動記事収集・翻訳システム (AI使用)

#05 GPT-6.2 AstraおよびSol｜OpenAIの新モデルの性能・コスト・専門業務能力

公開日 2026年11月17日　OpenAI　アメリカ



概要

OpenAIは、高度な専門業務向けの「GPT-6.2 Astra」と、日常的な汎用タスク向けの「GPT-6.2 Sol」を発表した。Astraは科学的ワークフローや法務、財務などの複雑な専門業務で高い性能を示し、特にコスト効率が大幅に向上している。これにより、企業や開発者はフロンティアレベルの性能を、より現実的なコストで大規模に導入することが可能になる。

詳細

主要成果

OpenAIが導入したGPT-6.2 Astraは、複雑な専門業務におけるAIの品質基準を刷新した。特に、マルチステップの専門業務を測定する「Agents' Last Exam」において、GPT-6 Astraよりコストを3分の1以下に抑えつつスコアを5.2ポイント向上させ、Claude Fable 5.2と比較してコストをわずか5%に抑えながら5.5ポイント上回る新記録を樹立した。また、科学的ワークフローを評価するTerminal-Bench-Science 0.1では、GPT-6 Astra比でコストを3分の1以下に抑えつつ、スコアを9パーセントポイント向上させている。さらに、生物学的データの解釈と実験を行うVals Science Indexにおいても最高値を記録した。

技術・詳細

GPT-6.2 Astraは、法務、販売、財務、会計などの業界慣行に準拠した、より直接的で具体的なアウトプットを生成する。法務向けベンチマークのHarvey LAB-AA v1.1では、Claude Fable 5.2の合格率を2倍以上に高めつつ、コストを約6分の1に削減した。また、コンサルティングやデザインなどの長期ワークフローを測定する内部指標GDPval v2では、GPT-6 Astraより出力トークン数を22%削減しながら、スコアを6.2パーセントポイント向上させている。財務分析においては、AA-AnalystAgentのタスクで正解率62.5%を達成した。

一方、GPT-6.2 Solは日常業務向けの効率的なモデルであり、CognitionのFrontierCode 2.0では、Astraの約5分の1のコストで、性能差を0.5ポイント以内にまで縮めている。また、日常的な困難なタスクを測定するLifeVal評価では、GPT-6 Astraの約7分の1のコストでそれを上回るスコアを記録した。

背景・業界の文脈

今回のアップデートでは、APIコストの最適化が強く推進されている。GPT-6.2 Astraの入出力トークン価格はGPT-6 Astraより20%低減され、キャッシュされた入力については60%の割引が適用される（入力$8、キャッシュ入力$0.40、出力$40／100万トークン）。これにより、開発者は性能を維持したまま、運用コストを大幅に削減できる。また、スライドやドキュメント作成において、テンプレートのレイアウトやフォントサイズを正確に再現し、AI特有の冗長な表現を排除した実務的な出力を実現している。

今後の展望

GPT-6.2 Astraは、コンピュータ操作の精度向上により、CADやシミュレーションツールでの詳細な設計業務への応用が可能となった。具体例として、車のシャシーダイナミクスの3Dモデル作成からPythonによるシミュレーター構築、Blenderでのアニメーション化までを完結させている。また、機械設計においては、写真からCAD修正を経て物理的なランプを製作するワークフローを実現しており、視覚的推論に基づいたインタラクティブなウェブデザインやエンジニアリング分野への展開が期待される。

元記事: https://openai.com/index/introducing-gpt-6-2-astra-sol/

収集日: 2026年11月21日 | 自動記事収集・翻訳システム (AI使用)

#06 Microsoft AI｜新モデル7種の性能とコスト｜GPT-6等との比較と価格効率

公開日 2026年11月17日　Microsoft AI　アメリカ



概要

Microsoft AI（MAI）が、コストパフォーマンスを極限まで高めた7つの新しいワールドクラスモデルをリリースした。MAI Cyber 2 FlashやMAI Code 2などのモデルは、GPT-6やClaude Opus 5.5といった競合の高性能モデルに匹敵する品質を維持しつつ、コストを大幅に削減している。これにより、24時間365日のエージェント運用や大規模なエンタープライズ実装におけるトークンコストの課題を解決し、実用的なエンジニアリングワークへの適用を加速させる。

詳細

主要成果

Microsoft AIは、価格性能比を最適化した7つの新モデルを発表した。特筆すべきは、MAI Cyber 2 FlashがCyberGym-E2Eベンチマークにおいて、GPT-6 Astraの品質を上回りながら、タスクあたりのコストを2%未満に抑えた点である。また、MAI Code 2はGPT-6.1 Solのコーディング品質の98%を約40%の価格で実現し、Claude Opus 5.5に対しては性能の96%をわずか5%のコストで達成している。

技術・詳細

各モデルの具体的な性能とコスト効率は以下の通りである。

- **コーディング・開発:** MAI Code 2 Flashは、日常的な高ボリュームタスクにおいてGPT-6 Lunaの65%、Claude Haiku 5.5の20%の価格で同等の性能を示す。また、MAI Code 2はフロントエンド開発のブラインド評価で、開発者の64%がGPT-6 Solよりも好む結果となった。
- **画像・音声:** MAI Image 2.7はArtificial Analysisの画像編集で1位となり、GPT Image 2.6 Sunburst (max)の5分の1の価格で性能を上回った。MAI Realtime 1は、GPT-Realtime 2.1を上回る性能を持ち、価格は1オーディオ分あたり0.01ドルからとなる。
- **意思決定・転写:** Decision 1.1はGPT-6.1 Solより50倍高速で79倍安価なルーティングモデルである。MAI Transcribe 2をベースとしたDragon Copilot Transcribeは、月間1,000万件の医師・患者間の会話転写に使用され、多言語エラー率を半減させた。
- **インフラ:** 第2世代AIアクセラレータ「Maia 200」が量産段階に入り、ワットあたりのトークン数を1.7倍に向上させた。

背景・業界の文脈

AIエージェントの運用においてトークン消費量の急増が課題となる中、2027年以降はセキュリティ、アライメント、封じ込めが最優先事項となる。特に、本番システムを24時間体制で監視・パッチ適用するサイバー防御エージェントには、極めて低い運用コストが不可欠である。MAI Cyber 2 Flashは、出力トークンの価格をMAI Cyber 1.1 Flashより86%低減させることで、このニーズに応えている。また、企業が自社の知的財産（IP）を保護しながら最適化できるカスタムモデルの提供も進めており、AT&Tが開発した5Gネットワーク運用分析モデルでは、GPT-6.1 Solの50分の1のコストで性能を上回った事例が報告されている。

今後の展望

MAI Code 2などのモデルは、GitHub Copilotなどの日常的なエンタープライズコーディングタスクに最適化されており、今後は基礎科学研究や非常に長期的なホライゾンを持つエージェントワークなどのより困難な課題への対応が検討される。また、Decision 1.1によるモデルルーティングの統合により、高価な大型モデルを必要な時にのみ使用する効率的なアプリケーション構築が進むと考えられる。

元記事: https://microsoft.ai/news/microsoft-ignite-2026/

収集日: 2026年11月21日 | 自動記事収集・翻訳システム (AI使用)

#07 NVIDIA Vera Rubin｜MLPerfベンチマークでの性能とエージェントAI推論効率

公開日 2026年11月16日　NVIDIA Blog　アメリカ



概要

NVIDIAの次世代プラットフォーム「Vera Rubin」が、MLPerfのトレーニングおよびエンドポイントのベンチマークで主導的な性能を記録した。特にエージェントAIの推論において、ワットあたりのスループットで世代間10倍以上の向上を達成している。これにより、より高度なAIエージェントの迅速な展開と、データセンターの電力効率向上が期待される。

詳細

主要成果

NVIDIAの最新プラットフォーム「Vera Rubin」が、MLPerf Training v6.1およびMLPerf Endpointsのベンチマークにおいて、トレーニング、ポストトレーニング、およびエージェント推論の全領域でトップクラスの性能を実証した。特に注目すべきは、MLPerf Endpointsへの初投稿において、エージェントAIのワットあたりスループット（電力1ワットあたりに処理できるエージェントの作業量）で、世代間で10倍以上の向上を達成した点である。

技術・詳細

MLPerf Training v6.1では、NVIDIAは大規模言語モデル、画像生成、レコメンダーシステム、強化学習ポストトレーニングを含むすべてのベンチマークで結果を出し、唯一の全項目達成となった。Vera Rubin NVL72は、最適化済みのGB300 NVL72システムと比較して、GPUあたりの性能が最大2倍に向上している。

また、大規模構成におけるスケーラビリティも実証された。DeepSeek-V3ベンチマークにおいて、Vera Rubin NVL72はGPU数を256基から1,024基に拡張した際、約97%の効率を維持し、トレーニング時間を16分から約4分へと短縮した。さらに、GB300システムを用いた10,240基のGPU構成による最大規模のテストも実施されており、Microsoft AzureもGB200システムを用いて同規模の構成を構築している。

推論性能に関しては、エージェントAI向けのオープンモデル「Kimi K3」を用いた暫定結果において、Vera Rubin NVL72は、同じ応答速度を維持しながらGB300 NVL72の10倍以上のワットあたりスループットを実現した。

背景・業界の文脈

AIエージェントがコード作成やビジネスワークフロー、科学研究などの複雑なタスクを遂行する際、推論過程で多くのトークンを生成し、ツール呼び出しや自己検証を繰り返す。データセンターの電力制限がある中で、ワットあたりのトークン生成量を増やすことは、より多くのユーザーに高速なサービスを提供するために不可欠である。NVIDIAは、NVLinkによるシステム内接続と、Quantum-X800 InfiniBandおよびSpectrum-X Ethernetによるシステム間接続を組み合わせることで、数千基のGPUを効率的に連携させている。

今後の展望

今回の結果は初期段階であり、CUDAベースのソフトウェアスタックの継続的な最適化によって、Vera Rubinの性能はさらに向上し続ける見込みである。また、SemiAnalysis AgentXやArtificial Analysis AgentPerfなどの独立したベンチマークでも主導的な性能を示しており、プリトレーニングからエージェント推論、さらにはSC26で披露されたハイパフォーマンスコンピューティング（HPC）まで、幅広いワークロードへの適用が進むと考えられる。

元記事: https://blogs.nvidia.com/blog/mlperf-training-endpoints-vera-rubin/

収集日: 2026年11月21日 | 自動記事収集・翻訳システム (AI使用)

#08 NVIDIA Nemotron for Science｜科学特化型AIエージェントの構築手法と性能

公開日 2026年11月16日　NVIDIA Newsroom　アメリカ



概要

NVIDIAは、科学的発見を加速させるためのAIエージェント構築プラットフォーム「NVIDIA Nemotron for Science」を発表した。オープンモデルのNemotron 3.5 Super VLをベースに、化学推論用のデータセット「LitmusBench v0.2」やポストトレーニング用レシピを提供し、ドメイン特化型エージェントの開発を支援する。これにより、研究者は複雑な科学的問題の推論や、実験プロトコルの自動設計、タンパク質設計などの高度なタスクを効率化できる。

詳細

主要成果

NVIDIAが導入した「NVIDIA Nemotron for Science」は、オープンモデルであるNemotron 3.5 Super VL、科学的評価指標、新しいオープン化学データセット、およびポストトレーニング用レシピを統合した環境である。これにより、研究者は特定の科学領域に特化したAIエージェントを構築し、科学的な問題に対する推論や、専門的な研究ツールの活用が可能になる。特に、ポストトレーニングを通じて、化学実験やタンパク質設計などの専門タスクにモデルを適応させることができる。

技術・詳細

本プラットフォームの中核となる「LitmusBench v0.2」は、化学推論のトレーニングと評価を目的とした約50,000問のオープンデータセットである。分子特性や実験的な創薬データに基づいており、分子の溶解性や人体内での処理方法など、分子の挙動を予測する能力を向上させる。また、インフラ面ではNVIDIA DGX Sparkおよびデータセンター基盤を活用することで、個人のデスクトップからスーパーコンピューティングセンターまで、セキュアなワークフローを構築できる。Nemotron 3.5 Super VLは、128GBのNVIDIA DGX Sparkシステム上でローカルに動作するように最適化されている。

具体的な導入事例では、以下の成果が報告されている。

- **Terray Therapeutics**：科学図面から反応物、生成物、反応条件を抽出するポストトレーニングを実施し、RxnScribeテストにおいて約76%の注釈付き反応を回収し、既存のベンチマーク結果を上回った。
- **Lila Sciences**：自動化ラボ向けの実験プロトコル設計に活用。ポストトレーニング後の量子ドット合成における精度は61%に達し、GPT-6 Astraの54%を上回る性能を、10〜20倍低い推論コストで実現した。
- **Therna**：mRNA治療薬設計に特化したポストトレーニングを行い、タンパク質発現範囲の予測精度をフロンティアモデルの約2倍に向上させた。

背景・業界の文脈

現在、世界的な研究機関がこの技術を導入している。米国エネルギー省のアルゴンヌ国立研究所は、がん治療などのタンパク質ベースの治療候補を設計・評価するマルチエージェントシステム「StructBioReasoner」にNemotronを統合している。また、スウェーデンのKTH王立工科大学では、GROMACS分子動力学設定の破損を自動修復するAIエージェントを構築し、単一のNVIDIA DGX Sparkシステムを用いた一晩の実行で、テストケースの81%を修復することに成功した。

今後の展望

理化学研究所（RIKEN）は、推論ゲートウェイ「RiVault」を通じて、RIKYU AIスーパーコンピューティングプラットフォーム上でNemotron 3.5 Super VLを含むモデルを提供し、研究者が加速アプリケーションの開発にアクセスできる環境を整えている。これらの取り組みは、周期表全般にわたる新規分子の迅速な設計と評価を可能にし、重要材料や鉱物、国家安全保障、そしてがん治療などの分野において新たな道を切り拓く可能性を秘めている。

元記事: https://nvidianews.nvidia.com/news/nvidia-introduces-nemotron-for-science-to-accelerate-discoveries-with-agents

収集日: 2026年11月21日 | 自動記事収集・翻訳システム (AI使用)

#09 NVIDIA・IBM・Fermilab｜量子・古典共同設計プラットフォームの性能と課題

公開日 2026年11月16日　NVIDIA Newsroom　アメリカ



概要

NVIDIAがIBMおよびフェルミ国立加速器研究所（Fermilab）と、量子・古典共同設計（Codesign）プラットフォームを立ち上げる。NVIDIA DGX B200とIBMの最新量子プロセッサ「Quantum Nighthawk」を統合し、量子誤り訂正や科学アプリケーションの研究を加速させる。また、デコード速度を最大13,000倍に高める新アルゴリズムを導入し、実用的なフォールトトレラント量子計算への道を短縮する。

詳細

主要成果

NVIDIAは、IBMおよび米国エネルギー省のフェルミ国立加速器研究所（Fermilab）との共同研究により、次世代のモジュール型量子コンピュータ・アーキテクチャ、科学アプリケーション、およびスーパーコンピューティング統合に向けたプラットフォームを構築することを発表した。この取り組みの核心は、NVIDIAの加速コンピューティングとソフトウェアを、IBMの量子コンピュータと統合することにある。特に、IBMがこれまでで最も強力なプロセッサとして開発した「IBM Quantum Nighthawk」を含む量子システムと、NVIDIA DGX B200システムをコロケーション（同一拠点に配置）させ、密接に連携させる。

技術・詳細

本プラットフォームでは、以下の技術的アプローチを通じて量子コンピューティングの実用化を目指す。

- **量子・古典共同設計プラットフォーム：**研究者が誤り訂正コードやデコードアルゴリズム、量子・古典ハイブリッドアプリケーションを開発・評価できる環境を提供する。特に高エネルギー物理学および核物理学（HENP）における科学的発見を推進し、モジュール型アーキテクチャ内で複数の量子プロセッサを古典システムといかにスケールさせるかを検証する。
- **新デコードアルゴリズム「TCBP-JOBS」：**CUDA-Qプラットフォームの一部としてリリースされたこのアルゴリズムは、量子誤り訂正研究における計算負荷の高いデコード処理を最大13,000倍高速化する。これにより、新しい量子コンピューティング設計の研究に要する計算時間が、従来の12週間からわずか45分にまで短縮された。
- **ワークフローの統合：**スーパーコンピューティングのワークフロー内で量子プロセッサのスケジューリングを簡素化するため、NVIDIAはSlurmを拡張する。これに対しIBMは、Quantum Resource Management Interfaceを通じて統合に寄与する。

背景・業界の文脈

量子プロセッサに固有の「エラー」は、実行可能な計算の複雑さと時間を制限する大きな要因となっている。これを解決するのが量子誤り訂正であり、複数の物理量子ビットに情報を分散して符号化し、古典的なアルゴリズム（デコーダー）を用いて測定データからエラーを特定・修正する手法である。NVIDIAが提供するCUDA-Q QEC 0.9.0ライブラリを通じて提供されるTCBP-JOBSは、このデコード工程の精度を維持しつつ劇的に高速化することで、物理量子ビットをより効率的に利用できる設計の特定を可能にする。

今後の展望

Fermilabの専門知識を投入することで、将来的なフォールトトレラント（耐故障性）量子コンピュータに求められる要件と、それによって達成可能な科学的成果を定義していく。また、IBMと理化学研究所（RIKEN）は、NVIDIAの加速コンピューティングを活用し、IBMの量子コンピュータと理研のGPUスーパーコンピュータ「RO」を組み合わせた量子・古典化学研究も推進している。

元記事: https://nvidianews.nvidia.com/news/nvidia-announces-collaboration-with-ibm-and-fermi-national-accelerator-laboratory-to-launch-quantum-classical-codesign-platform-plus-error-correction-breakthrough-to-advance-practical-quantum-computing

収集日: 2026年11月21日 | 自動記事収集・翻訳システム (AI使用)

#10 OpenAIモデル｜チップ設計の自動最適化によるPPA向上とAMDへの適用成果

公開日 2026年11月18日　OpenAI　アメリカ

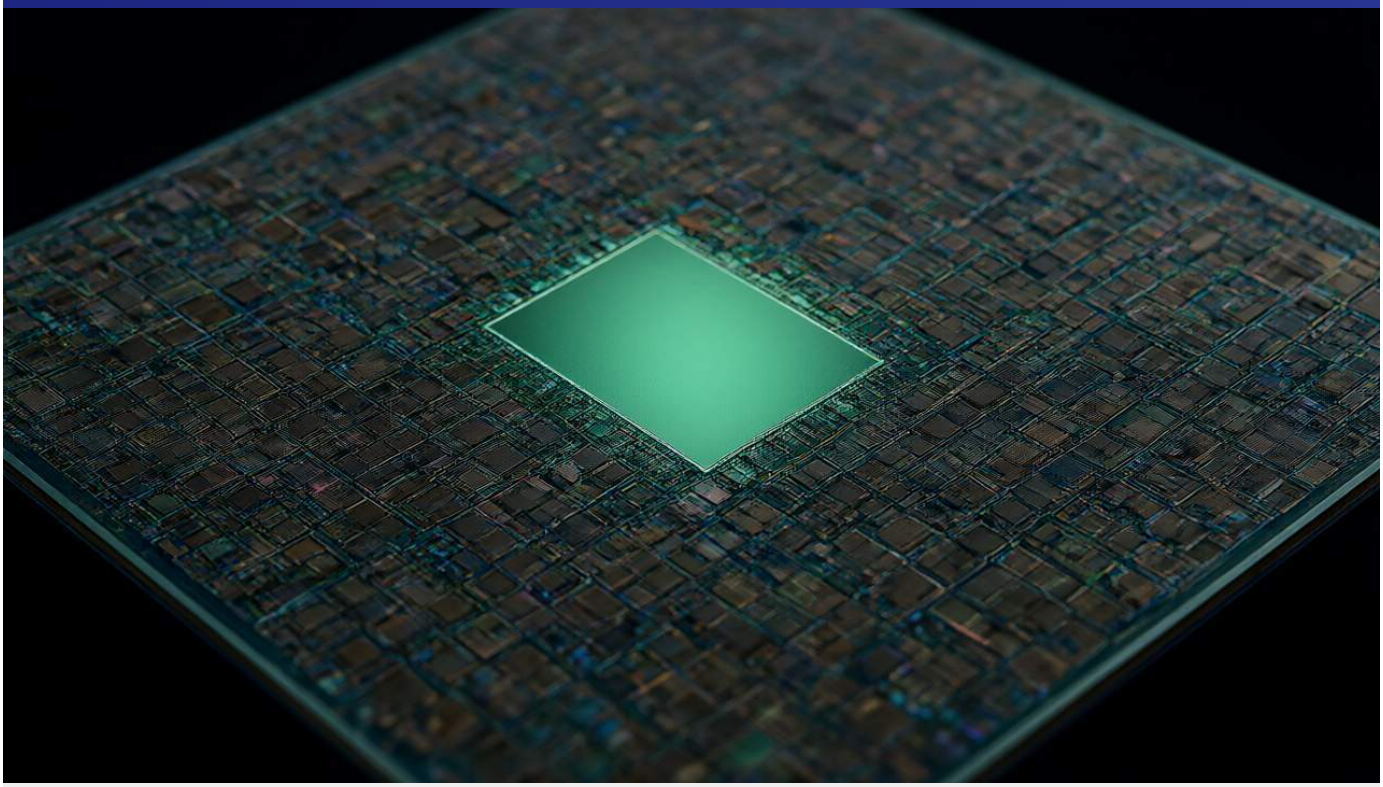

概要

OpenAIは、自社モデルを用いてAIチップの設計を加速させ、電力・性能・面積（PPA）の有意な改善を達成した。自社開発の推論チップ「Jalapeño」では標準セル面積を最大13%削減し、AMDのフラッグシップGPU IPでは最大14%の改善を確認している。この成果は、AIモデルが熟練のマイクロアーキテクトと同レベルで回路記述言語（RTL）を最適化できることを示しており、チップ開発期間の劇的な短縮を可能にする。

詳細

主要成果

OpenAIは、自社のフロンティアモデルをチップ設計に適用し、実用的なレベルでPPA（電力・性能・面積）を向上させた。具体的には、自社初のカスタム推論チップ「Jalapeño」において、ベクトルユニットで約13%、マトリクスユニットで約10%の標準セル面積削減を達成し、これらはシリコンでの実証済みである。また、AMDとの提携では、フラッグシップGPU IPにおいて、高度に最適化されたベースラインに対し最大14%の改善を記録した。これは通常1年かかる進捗を5ヶ月未満で達成したことに相当し、前例のない成果であるとされる。

技術・詳細

設計最適化にはGPT-o3 miniなどのモデルが活用された。モデルはSystemVerilog RTL（ハードウェア記述言語）を書き換えることで、計算回路、制御操作、データ移動の最適化を行った。Jalapeñoの具体例では、以下の改善が挙げられる。

- ベクトルユニット：浮動小数点加算器、乗算器、変換関数、リダクションロジック、特殊関数ユニットにおけるロジック実装の代替案の探索と、パイプラインステージ間の計算分割によるハードウェア共有の最適化。
- マトリクスユニット：乗算器の再設計により、合成時のセル面積を約15%削減し、レイテンシを2クロックサイクルから1サイクルへ短縮。また、加算器の再設計でもレイテンシを維持したままセル面積を約15%削減した。

検証プロセスでは、SynopsysのEDA（電子設計自動化）ツールを統合し、書き換え後の回路が元の動作を維持しているか、およびPPAのトレードオフを評価している。

背景・業界の文脈

モデルの能力を定量的に測定するため、オープンソースの32ビットRISC-Vコア（PicoRV32およびIbex）を用いた評価が行われた。スループット（1秒あたりの命令実行数）を指標とし、シミュレーションによる正当性確認と面積制約（元の16倍以内）を課して測定した結果、GPT-6.2 Astraが両コアで最高の平均スコアを記録し、次いでGPT-6.1 SolがGPT-5.6 Solを上回る性能を示した。

今後の展望

AIモデルによる設計アプローチは、既存設計の最適化だけでなく、仕様書からの新規設計においても高い成果を上げている。仕様書とテンプレートからコアを設計させた場合、既存設計を改善させるよりも高いスコアを記録した。これは、モデルがテストワークロードに不要な機能（パフォーマンスカウンタ等）を省略できるためと考えられる。今後は、AMDの次世代フラッグシップCPUなどの主要ブロックにおいても、さらなるPPAの向上が期待されている。

元記事: https://openai.com/index/advancing-chip-design-with-our-models/

収集日: 2026年11月21日 | 自動記事収集・翻訳システム (AI使用)

#11 OpenAI｜AMD GPU設計でのPPA 14%向上とSynopsysとの共同開発の詳細

公開日 2026年11月18日　AI Weekly　アメリカ

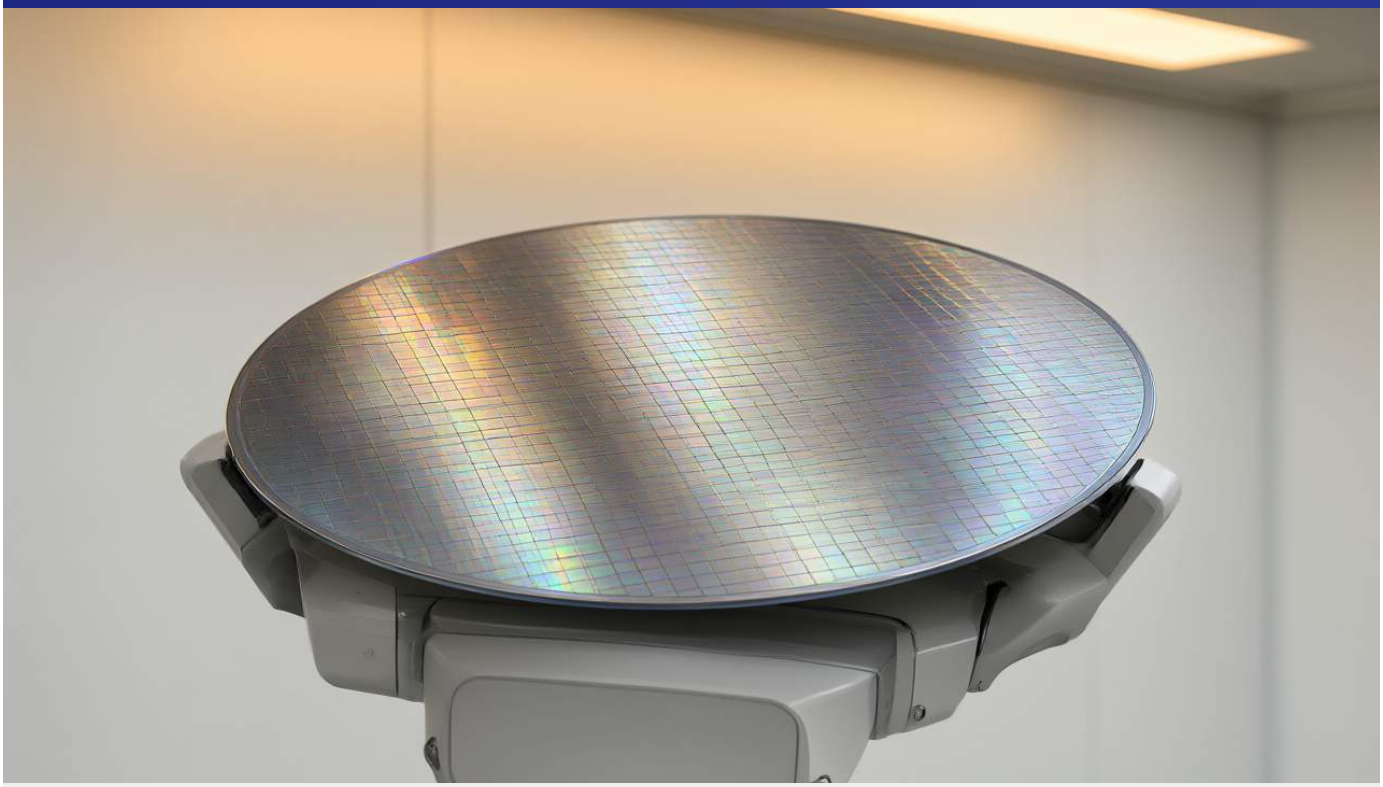

概要

OpenAIのAIモデルが、AMDのフラグシップGPUにおいて電力・性能・面積（PPA）を最大14%向上させる設計変更を導き出した。この成果は、すでに高度に最適化されたベースラインを対象としたもので、一部の変更はすでに製造工程に組み込まれている。また、Synopsys社と共同でEDAツールを駆動する専用モデル「GPT-Synopsys」の開発に着手し、チップ設計の自動化を製品化する計画である。

詳細

主要成果

OpenAIは、自社モデルを用いてAMDのフラグシップGPUの特定回路において、電力（Power）、性能（Performance）、面積（Area）の3指標（PPA）で最大14%の改善を達成した。この結果は、AMDがすでに高度な最適化を施していた設計をベースにしたものであり、OpenAIは「通常1年かかる進歩を5ヶ月未満で達成した」と評価している。

技術・詳細

AIモデルによる設計変更は、単なるデモンストレーションに留まらず、実用段階に移行している。具体的には、モデルが提案した変更の一部はすでに製造に送られた設計に組み込まれており、その他の変更は将来のバージョン向けに生産設計ファイルに追加された。また、AMDの次世代フラグシップCPUにおいても、OpenAIのモデルが提案した編集により、主要ブロックで1桁台（single-digit）のPPA向上を確認している。

同様の成果はOpenAI自社のカスタム推論チップ「Jalapeño」でも見られた。初期のシリコンテストにおいて、ベクトルユニットで約13%、行列ユニットで約10%の標準セル面積削減が見込まれている。AIによる支援により、同チップは初期設計からテープアウト（製造への設計完了）までを9ヶ月で完了させた。技術的なワークフローとしては、モデルがSystemVerilogで回路を書き直し、Synopsys社の設計ツールを用いて、書き換え後も元の動作が維持されているかを確認した上で、トレードオフを測定している。

背景・業界の文脈

今回の発表のもう一つの柱は、Synopsys社との戦略的パートナーシップである。OpenAIは、熟練したチップ設計者のようにSynopsys社の電子設計自動化（EDA）ツールを操作する専用モデル「GPT-Synopsys」をトレーニングしている。この数年間にわたる合意には、共同開発、市場投入、および収益分配が含まれており、OpenAI内部で構築されたワークフローを、他の設計者が購入可能な製品として提供する計画である。

今後の展望

一方で、OpenAIは課題についても言及している。テストした5つのモデルすべてにおいて、既存のコードを改善させるよりも、記述された要件から設計を行う方が高いスコアを記録した。これは、モデルが元の設計に含まれていた機能を漏らす可能性があることを示唆している。しかし、経験豊富なエンジニアが作成したAMDのベースラインで成果を出したことは、AIによるRTL（レジスタ転送レベル）設計が実際の製造工程に適用される重要な事例となった。

元記事: https://aiweekly.co/alerts/openai-says-models-found-14-ppa-gains-in-amd-gpu-designs

収集日: 2026年11月21日 | 自動記事収集・翻訳システム (AI使用)